

# Apprentissage de bornes duales valides en programmation par contraintes : Décomposition lagrangienne amplifiée avec apprentissage auto-supervisé

Swann Bessa, Darius Dabert, Max Bourgeat, Louis-Martin Rousseau, Quentin Cappart

JFPC 2025



**POLYTECHNIQUE  
MONTRÉAL**

UNIVERSITÉ  
D'INGÉNIERIE

# Programmation par Contraintes (CP)



LD dans CP    Notre Approche    Résultats

Un problème de programmation par contraintes c'est :

- 1) Variables
- 2) Domaines des variables
- 3) Contraintes

$$\begin{aligned} \max \quad & f(X_1, X_2, X_3) \\ \text{s.à} \quad & C_1(X_1, X_2, X_3) \\ & C_2(X_2, X_3) \\ & X_1, X_2, X_3 \in \mathbb{N} \end{aligned}$$



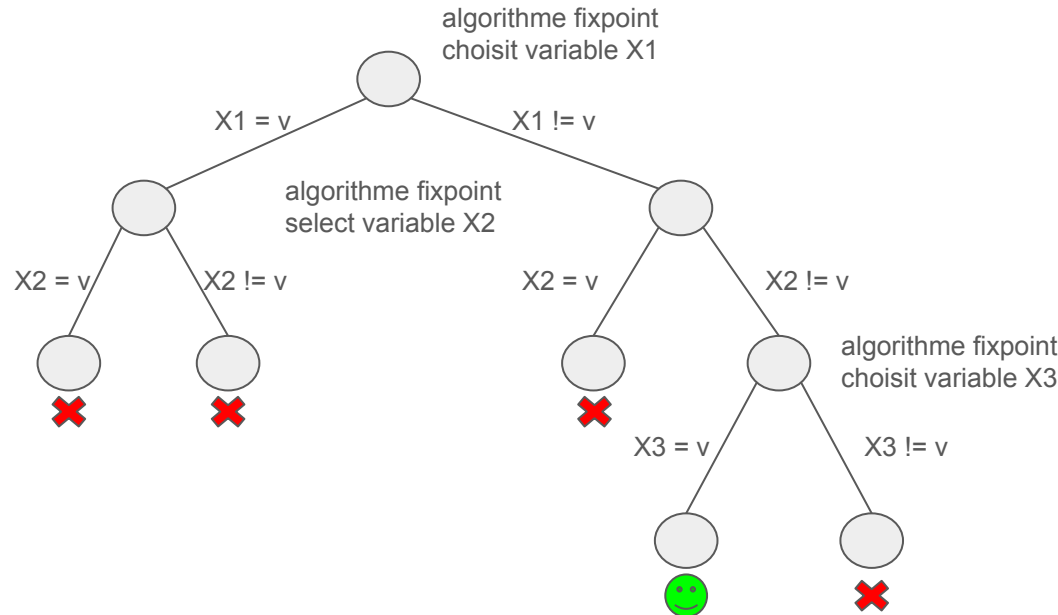
**POLYTECHNIQUE  
MONTRÉAL**  
UNIVERSITÉ  
D'INGÉNIERIE



Un problème de programmation par contraintes c'est :

- 1) Variables
- 2) Domaines des variables
- 3) Contraintes

$$\begin{aligned} \max \quad & f(X_1, X_2, X_3) \\ \text{s.à} \quad & C_1(X_1, X_2, X_3) \\ & C_2(X_2, X_3) \\ & X_1, X_2, X_3 \in \mathbb{N} \end{aligned}$$



L'algorithme du fixpoint propage progressivement les contraintes jusqu'à ne plus pouvoir réduire les domaines

**Permet de résoudre des Problèmes Combinatoires !**



**POLYTECHNIQUE  
MONTRÉAL**  
UNIVERSITÉ  
D'INGÉNIERIE



# Décomposition Lagrangienne (LD)



**POLYTECHNIQUE  
MONTRÉAL**  
UNIVERSITÉ  
D'INGÉNIERIE



LD dans CP



Notre Approche



Résultats

La décomposition lagrangienne décompose le problèmes en sous problèmes indépendants et plus simples

$$\begin{aligned} \max \quad & f(X_1, X_2, X_3) \\ \text{s.à} \quad & C_1(X_1, X_2, X_3) \\ & C_2(X_2, X_3) \\ & X_1, X_2, X_3 \in \mathbb{N} \end{aligned}$$



POLYTECHNIQUE  
MONTRÉAL  
UNIVERSITÉ  
D'INGÉNIERIE



LD dans CP



Notre Approche



Résultats

Guignard et al Lagrangean decomposition for integer programming : theory and applications

**La décomposition lagrangienne décompose le problèmes en sous problèmes indépendants et plus simples**

**Étape 1 :** chaque variable de chaque contrainte est dupliquée, sauf pour la première contrainte

$$\begin{aligned} \max \quad & f(X_1, \textcolor{blue}{X}_2, \textcolor{red}{X}_3) \\ \text{s.à} \quad & C_1(X_1, \textcolor{blue}{X}_2, \textcolor{red}{X}_3) \\ & C_2(\textcolor{blue}{X}_2, \textcolor{red}{X}_3) \\ & X_1, \textcolor{blue}{X}_2, \textcolor{red}{X}_3 \in \mathbb{N} \end{aligned}$$



$$\begin{aligned} \max \quad & f(X_1, \textcolor{blue}{X}_2, \textcolor{red}{X}_3) \\ \text{s.à} \quad & C_1(X_1, \textcolor{blue}{X}_2, \textcolor{red}{X}_3) \\ & C_2(\textcolor{cyan}{Y}_2, \textcolor{magenta}{Y}_3) \\ & X_1, \textcolor{blue}{X}_2, \textcolor{red}{X}_3, \textcolor{cyan}{Y}_2, \textcolor{magenta}{Y}_3 \in \mathbb{N} \end{aligned}$$

**La décomposition lagrangienne décompose le problèmes en sous problèmes indépendants et plus simples**

**Étape 1 :** chaque variable de chaque contrainte est dupliquée, sauf pour la première contrainte

**Étape 2 :** une contrainte liant les valeurs est ajoutée pour chaque nouvelle variable

$$\begin{aligned} \max \quad & f(X_1, \textcolor{blue}{X}_2, \textcolor{red}{X}_3) \\ \text{s.à} \quad & C_1(X_1, \textcolor{blue}{X}_2, \textcolor{red}{X}_3) \\ & C_2(\textcolor{blue}{X}_2, \textcolor{red}{X}_3) \\ & X_1, \textcolor{blue}{X}_2, \textcolor{red}{X}_3 \in \mathbb{N} \end{aligned}$$



$$\begin{aligned} \max \quad & f(X_1, \textcolor{blue}{X}_2, \textcolor{red}{X}_3) \\ \text{s.à} \quad & C_1(X_1, \textcolor{blue}{X}_2, \textcolor{red}{X}_3) \\ & C_2(\textcolor{teal}{Y}_2, \textcolor{violet}{Y}_3) \\ & \boxed{X_2 = \textcolor{teal}{Y}_2, X_3 = \textcolor{violet}{Y}_3} \\ & X_1, \textcolor{blue}{X}_2, \textcolor{red}{X}_3, \textcolor{teal}{Y}_2, \textcolor{violet}{Y}_3 \in \mathbb{N} \end{aligned}$$



**La décomposition lagrangienne décompose le problèmes en sous problèmes indépendants et plus simples**

**Étape 1 :** chaque variable de chaque contrainte est dupliquée, sauf pour la première contrainte

**Étape 2 :** une contrainte liant les valeurs est ajoutée pour chaque nouvelle variable

**Étape 3:** ces contraintes sont déplacées dans la fonction objectif avec une pénalité

$$\begin{array}{ll} \max & f(X_1, X_2, X_3) \\ \text{s.à} & C_1(X_1, X_2, X_3) \\ & C_2(X_2, X_3) \\ & X_1, X_2, X_3 \in \mathbb{N} \end{array}$$



$$\begin{array}{ll} \max & f(X_1, X_2, X_3) \\ \text{s.à} & C_1(X_1, X_2, X_3) \\ & C_2(Y_2, Y_3) \\ & \boxed{X_2 = Y_2}, \boxed{X_3 = Y_3} \\ & X_1, X_2, X_3, Y_2, Y_3 \in \mathbb{N} \end{array}$$

$$f(X_1, X_2, X_3) + \mu_2(Y_2 - X_2) + \mu_3(Y_3 - X_3)$$



LD dans CP



Notre Approche



Résultats

La décomposition lagrangienne décompose le problèmes en sous problèmes indépendants et plus simples

Étape 1 : chaque variable de chaque contrainte est dupliquée, sauf pour la première contrainte

Étape 2 : une contrainte liant les valeurs est ajoutée pour chaque nouvelle variable

Étape 3: ces contraintes sont déplacées dans la fonction objectif avec une pénalité

$$\begin{array}{ll} \max & f(X_1, X_2, X_3) \\ \text{s.à} & C_1(X_1, X_2, X_3) \\ & C_2(X_2, X_3) \\ & X_1, X_2, X_3 \in \mathbb{N} \end{array}$$



$$\begin{array}{ll} \max & f(X_1, X_2, X_3) \\ \text{s.à} & C_1(X_1, X_2, X_3) \\ & C_2(Y_2, Y_3) \\ & X_2 = Y_2, X_3 = Y_3 \\ & X_1, X_2, X_3, Y_2, Y_3 \in \mathbb{N} \end{array}$$



$$f(X_1, X_2, X_3) + \mu_2(Y_2 - X_2) + \mu_3(Y_3 - X_3)$$



**La décomposition lagrangienne décompose le problèmes en sous problèmes indépendants et plus simples**

**Étape 1 :** chaque variable de chaque contrainte est dupliquée, sauf pour la première contrainte

**Étape 2 :** une contrainte liant les valeurs est ajoutée pour chaque nouvelle variable

**Étape 3:** ces contraintes sont déplacées dans la fonction objectif avec une pénalité

$$\begin{array}{ll} \max & f(X_1, X_2, X_3) \\ \text{s.à} & C_1(X_1, X_2, X_3) \\ & C_2(X_2, X_3) \\ & X_1, X_2, X_3 \in \mathbb{N} \end{array}$$



$$\begin{array}{ll} \max & f(X_1, X_2, X_3) \\ \text{s.à} & C_1(X_1, X_2, X_3) \\ & C_2(Y_2, Y_3) \\ & X_2 = Y_2, X_3 = Y_3 \\ & X_1, X_2, X_3, Y_2, Y_3 \in \mathbb{N} \end{array}$$

$$f(X_1, X_2, X_3) + \mu_2(Y_2 - X_2) + \mu_3(Y_3 - X_3)$$



$$\mathcal{B}(\mu_2, \mu_3) = \left\{ \begin{array}{l} \max \quad f(X_1, \textcolor{blue}{X}_2, \textcolor{red}{X}_3) + \mu_2(\textcolor{cyan}{Y}_2 - X_2) + \mu_3(\textcolor{violet}{Y}_3 - X_3) \\ \text{s.à} \quad \quad \quad C_1(X_1, \textcolor{blue}{X}_2, \textcolor{red}{X}_3) \\ \quad \quad \quad C_2(\textcolor{cyan}{Y}_2, \textcolor{violet}{Y}_3) \\ \quad \quad \quad X_1, \textcolor{blue}{X}_2, \textcolor{red}{X}_3, \textcolor{cyan}{Y}_2, \textcolor{violet}{Y}_3 \in \mathbb{N} \end{array} \right.$$

Résoudre ce problème relaxé fournit une **borne duale**



$$\mathcal{B}(\mu_2, \mu_3) = \begin{cases} \max & f(X_1, \textcolor{blue}{X}_2, \textcolor{red}{X}_3) + \mu_2(\textcolor{cyan}{Y}_2 - X_2) + \mu_3(\textcolor{violet}{Y}_3 - X_3) \\ \text{s.à} & C_1(X_1, \textcolor{blue}{X}_2, \textcolor{red}{X}_3) \\ & C_2(\textcolor{cyan}{Y}_2, \textcolor{violet}{Y}_3) \\ & X_1, \textcolor{blue}{X}_2, \textcolor{red}{X}_3, \textcolor{cyan}{Y}_2, \textcolor{violet}{Y}_3 \in \mathbb{N} \end{cases}$$

Résoudre ce problème relaxé fournit une **borne duale**

**Conséquence** : chaque contrainte peut être résolue indépendamment

$$\mathcal{B}(\mu_2, \mu_3) = \begin{cases} \max & f(X_1, \textcolor{blue}{X}_2, \textcolor{red}{X}_3) - \mu_2 \textcolor{blue}{X}_2 - \mu_3 \textcolor{red}{X}_3 \\ \text{s.à} & C_1(X_1, \textcolor{blue}{X}_2, \textcolor{red}{X}_3) \\ & X_1, \textcolor{blue}{X}_2, \textcolor{red}{X}_3 \in \mathbb{N} \end{cases} + \begin{cases} \max & \mu_2 \textcolor{cyan}{Y}_2 + \mu_3 \textcolor{violet}{Y}_3 \\ \text{s.à} & C_2(\textcolor{cyan}{Y}_2, \textcolor{violet}{Y}_3) \\ & \textcolor{cyan}{Y}_2, \textcolor{violet}{Y}_3 \in \mathbb{N} \end{cases}$$

Pour des multiplicateurs donnés, on obtient une borne en résolvant ces sous problèmes



$$\mathcal{B}(\mu_2, \mu_3) = \begin{cases} \max & f(X_1, \textcolor{blue}{X}_2, \textcolor{red}{X}_3) + \mu_2(\textcolor{cyan}{Y}_2 - X_2) + \mu_3(\textcolor{violet}{Y}_3 - X_3) \\ \text{s.à} & C_1(X_1, \textcolor{blue}{X}_2, \textcolor{red}{X}_3) \\ & C_2(\textcolor{cyan}{Y}_2, \textcolor{violet}{Y}_3) \\ & X_1, \textcolor{blue}{X}_2, \textcolor{red}{X}_3, \textcolor{cyan}{Y}_2, \textcolor{violet}{Y}_3 \in \mathbb{N} \end{cases}$$

Résoudre ce problème relaxé fournit une **borne duale**

**Conséquence** : chaque contrainte peut être résolue indépendamment

$$\mathcal{B}(\mu_2, \mu_3) = \begin{cases} \max & f(X_1, \textcolor{blue}{X}_2, \textcolor{red}{X}_3) - \boxed{\mu_2} X_2 - \boxed{\mu_3} X_3 \\ \text{s.à} & C_1(X_1, \textcolor{blue}{X}_2, \textcolor{red}{X}_3) \\ & X_1, \textcolor{blue}{X}_2, \textcolor{red}{X}_3 \in \mathbb{N} \end{cases} + \begin{cases} \max & \boxed{\mu_2} \textcolor{cyan}{Y}_2 + \boxed{\mu_3} \textcolor{violet}{Y}_3 \\ \text{s.à} & C_2(\textcolor{cyan}{Y}_2, \textcolor{violet}{Y}_3) \\ & \textcolor{cyan}{Y}_2, \textcolor{violet}{Y}_3 \in \mathbb{N} \end{cases}$$

Pour des multiplicateurs donnés, on obtient une borne en résolvant ces sous problèmes

Quelles valeurs pour ces multiplicateurs ?



# Décomposition Lagrangienne en CP



POLYTECHNIQUE  
MONTRÉAL  
UNIVERSITÉ  
D'INGÉNIERIE



LD dans CP

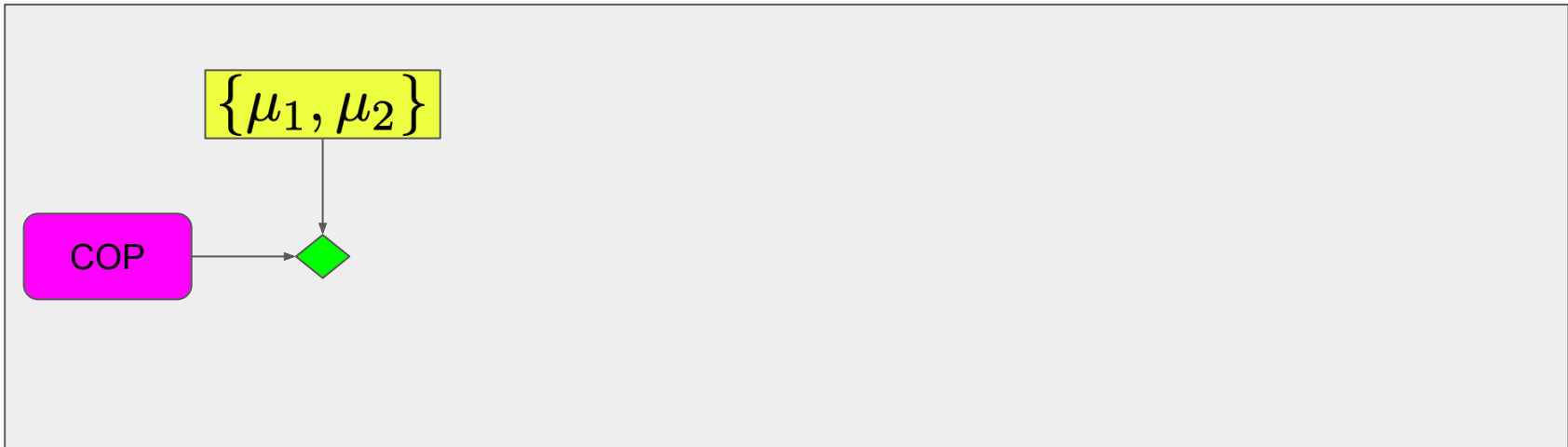


Notre Approche



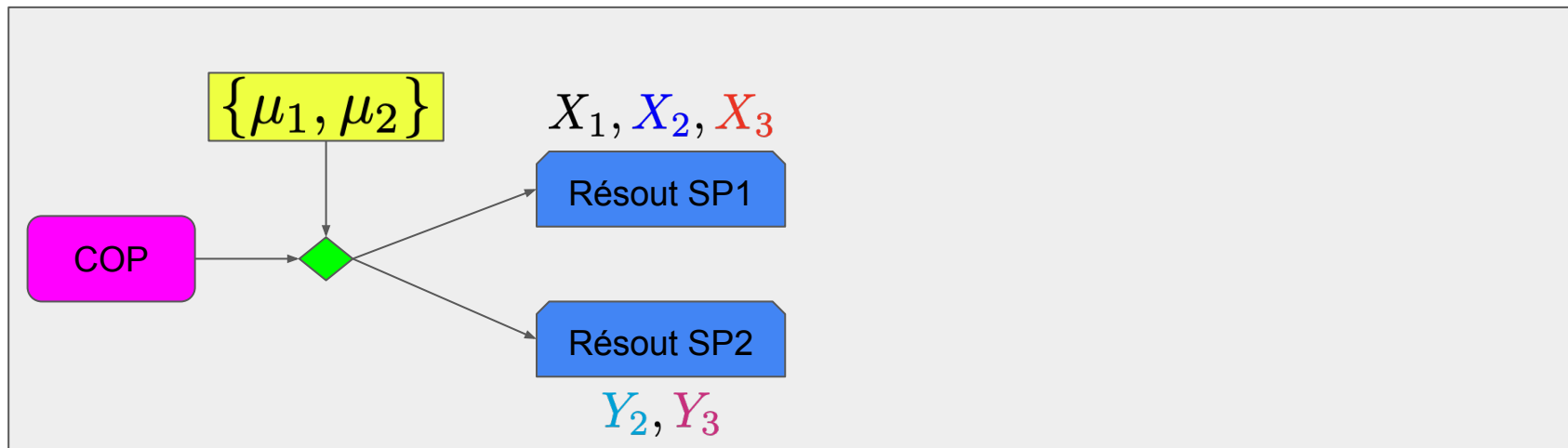
Résultats

**Initialisation** : on initialise les multiplicateurs à des valeurs arbitraires



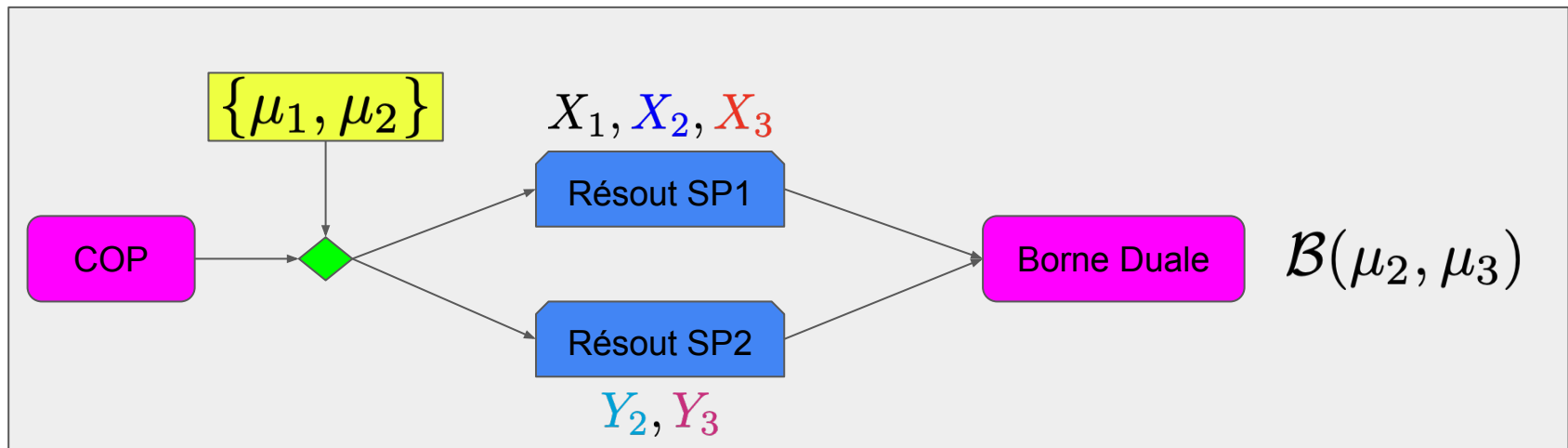
**Initialisation** : on initialise les multiplicateurs à des valeurs arbitraires

**Étape 1** : on résout tous les sous problèmes avec ces valeurs et on obtient une borne duale



**Initialisation** : on initialise les multiplicateurs à des valeurs arbitraires

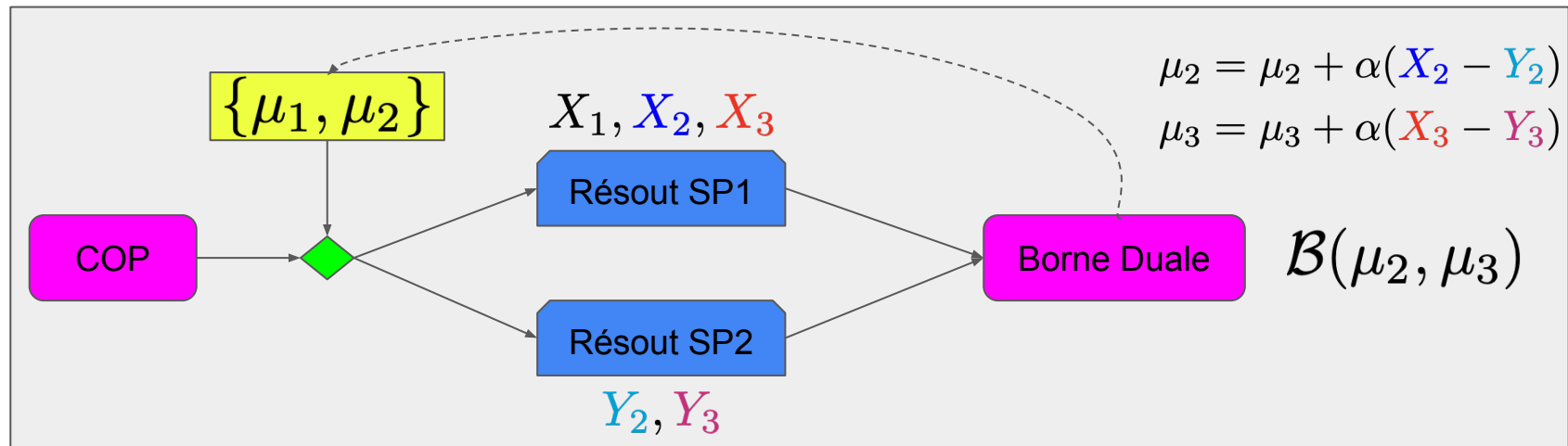
**Étape 1** : on résout tous les sous problèmes avec ces valeurs et on obtient une borne duale



**Initialisation** : on initialise les multiplicateurs à des valeurs arbitraires

**Étape 1** : on résout tous les sous problèmes avec ces valeurs et on obtient une borne duale

**Étape 2** : on met à jours les multiplicateurs avec leur sous gradient

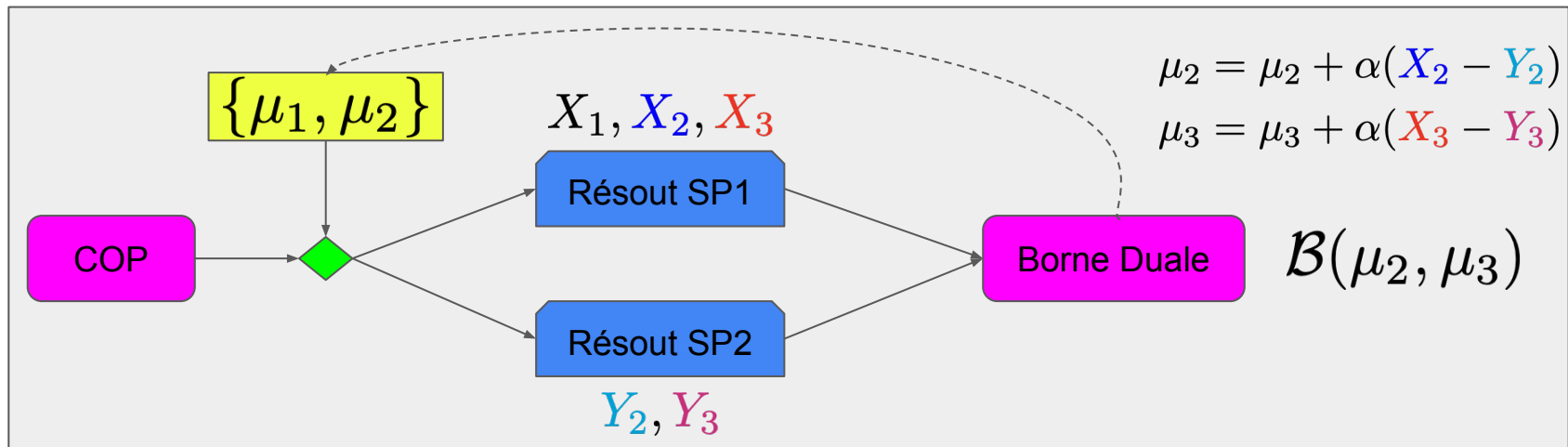


**Initialisation** : on initialise les multiplicateurs à des valeurs arbitraires

**Étape 1** : on résout tous les sous problèmes avec ces valeurs et on obtient une borne duale

**Étape 2** : on met à jours les multiplicateurs avec leur sous gradient

**Étape 3** : on répète les étapes 1 et 2 pour x itérations



Ce processus est coûteux car il demande de résoudre beaucoup de sous-problème à chaque itération

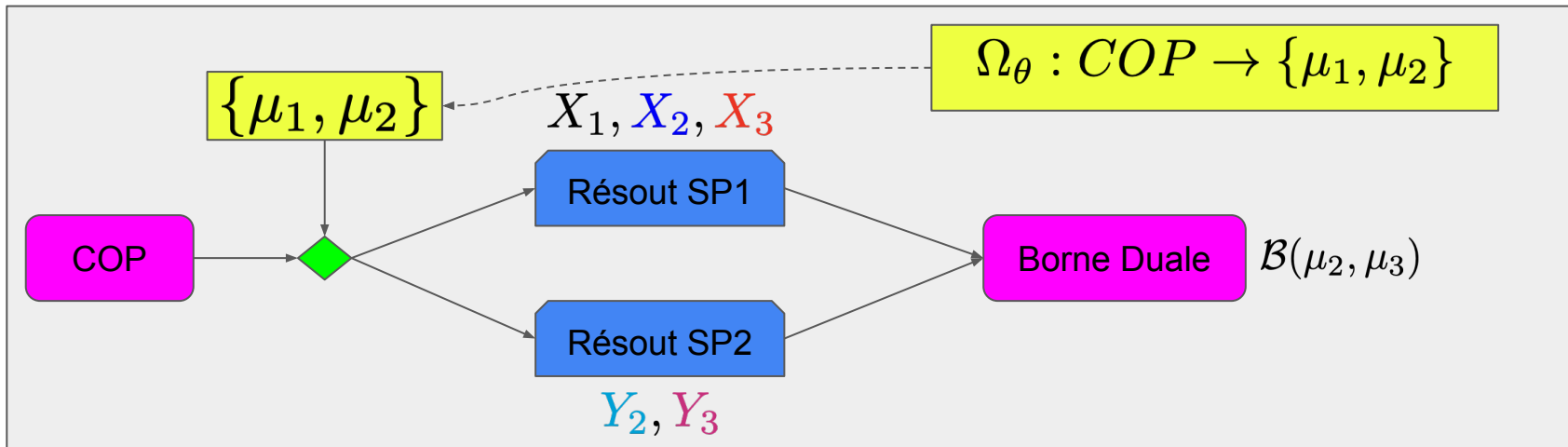


# Notre Approche



## On propose une **approche auto-supervisée** pour calculer les multiplicateurs

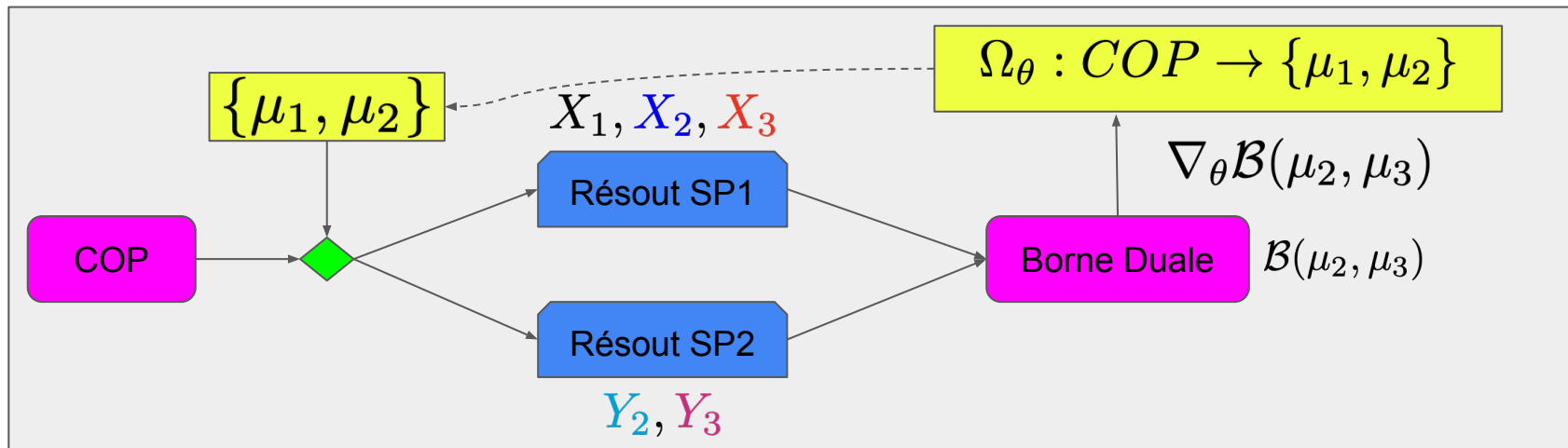
Étape 1 : les multiplicateurs sont maintenant obtenus avec un **modèle prédictif différentiable**



## On propose une **approche auto-supervisée** pour calculer les multiplicateurs

Étape 1 : les multiplicateurs sont maintenant obtenus avec un **modèle prédictif différentiable**

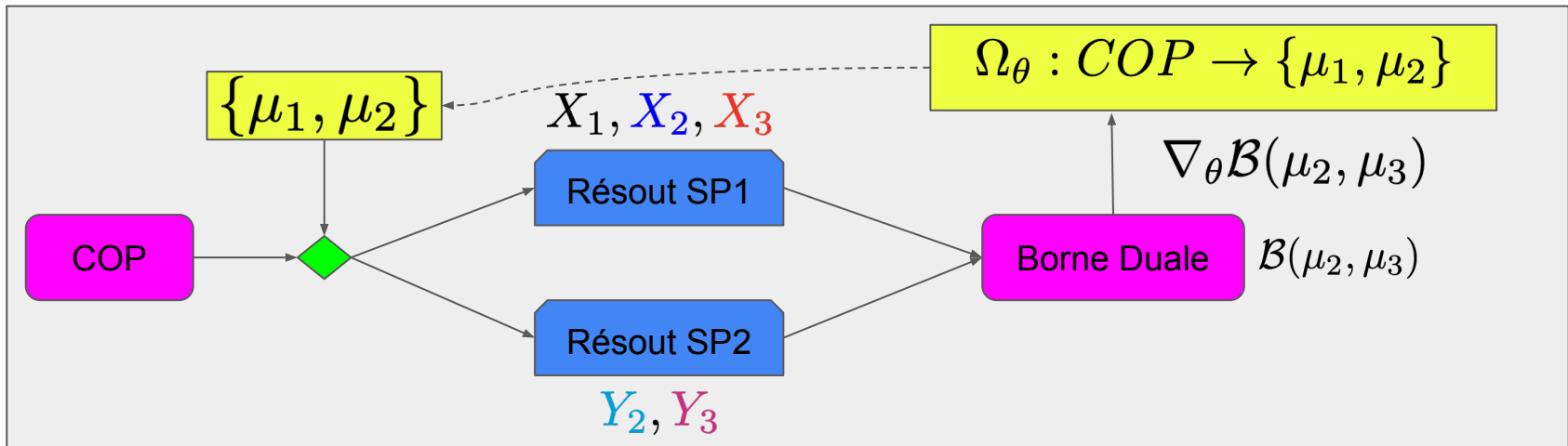
Étape 2 : le modèle est entraîné de **bout-en-bout** en différenciant la borne



Intuition : le processus d'optimisation est pris en charge durant la phase d'entraînement

## Comment calculer le gradient de cette borne

$\Omega_\theta$  donne  $\{\mu_1, \mu_2\}$  mais on veut le mettre à jour selon la qualité de la borne et non  $\{\mu_1, \mu_2\}$



$$\nabla_{\Theta} \mathcal{B}(\mu) = \frac{\partial \mathcal{B}(f_{\Theta}(COP))}{\partial \mu} \times \frac{\partial \mu}{\partial \Theta} = (X - Y) \times \frac{\partial \mu}{\partial \Theta}$$

**Étape 1** : on utilise la règle de la chaîne pour mettre en évidence les dépendances

**Étape 2** : le terme de droite est obtenu par backpropagation du modèle prédictif

**Étape 3** : le terme de gauche ré-utilise l'expression du sous-gradient

**Entraînement** : descente de gradient sur les instances d'entraînement



# Résultats

## Expériences

**Étude de cas :** Sac à dos multi-dimensionnel & problème d'ordonnancement des quarts de travail

### Compétiteurs :

- CP : Approche programmation par contraintes pure
- CP + SG : CP + LD avec multiplicateurs mis à jours itérativement
- CP + Learning(*all*) : CP + LD avec bornes apprises et appliquées à tous les noeuds
- CP + Learning(*all*) + SG : pareil et les bornes obtenues sont améliorées avec SG
- CP + Learning(*root*) + SG : borne apprise appliquée uniquement au noeud racine et utilisée pour initialiser le sous gradient aux autres noeuds

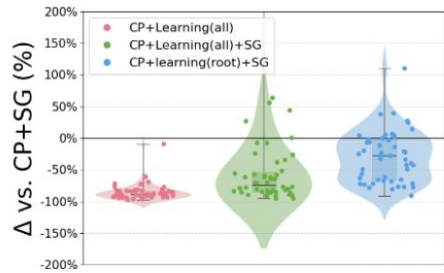


POLYTECHNIQUE  
MONTRÉAL  
UNIVERSITÉ  
D'INGÉNIERIE

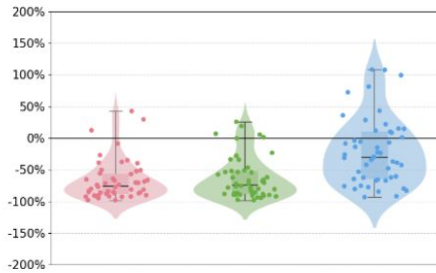


Pesant, G. 2004. A regular language membership constraint for finite sequences of variables

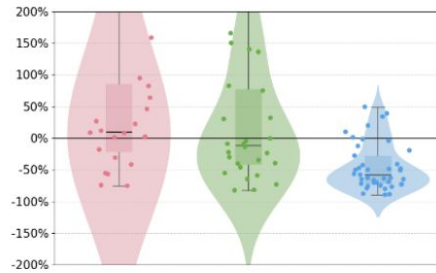
# Résultats



(a) MKP avec 30 items



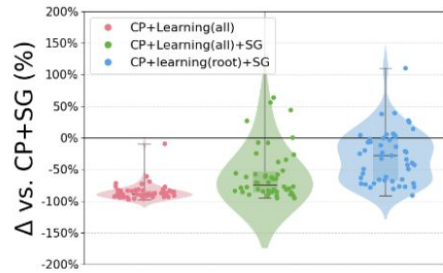
(b) MKP avec 50 items



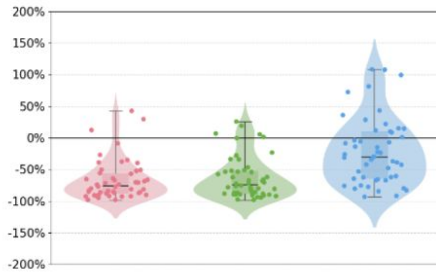
(c) MKP avec 100 items

Chaque point en dessous de 0% indique une réduction du temps avec notre méthode

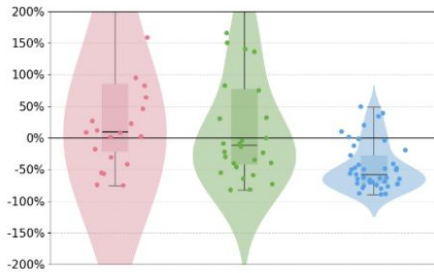
# Résultats



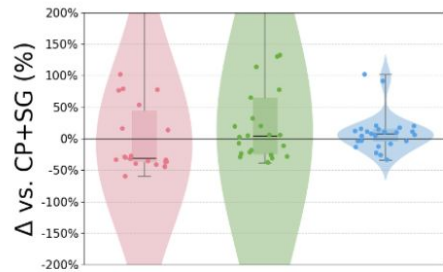
(a) MKP avec 30 items



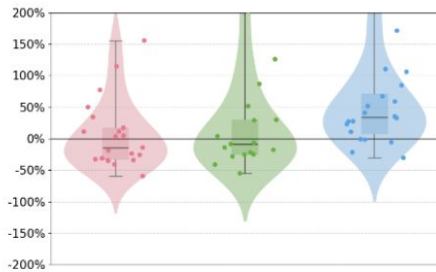
(b) MKP avec 50 items



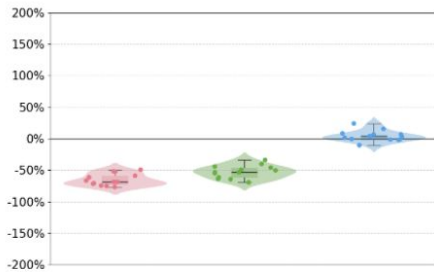
(c) MKP avec 100 items



(d) SSP avec 10 symboles et 20 états



(e) SSP avec 20 symboles et 20 états



(f) SSP avec 10 symboles et 80 états

Chaque point en dessous de 0% indique une réduction du temps avec notre méthode

# Résultats

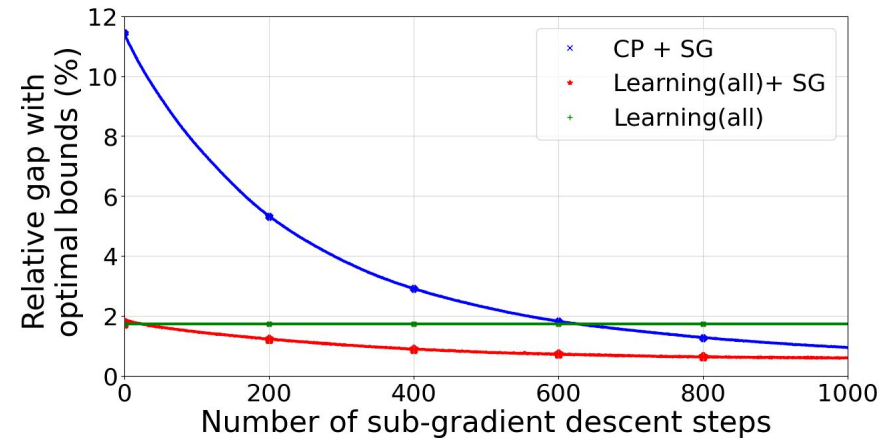
## Multi-dimensional Knapsack Problem (MKP)

Approaches	30 items				50 items				100 items			
	No. solved	Time	No. nodes	Gap	No. solved	Time	No. nodes	Gap	No. solved	Time	No. nodes	Gap
CP	50/50	<b>0.5</b>	22K	-	30/50	1,100	40M	-	0/50	-	-	-
CP+SG	50/50	19.2	116	2.0%	50/50	158	436	2.0%	41/50	2.4K	4.1K	1.3%
CP+Learning( <i>all</i> )	50/50	2.0	235	6.0%	50/50	<b>36</b>	2.6K	3.0%	25/50	2.8K	146K	2.0%
CP+Learning( <i>all</i> )+SG	50/50	6.7	170	2.0%	50/50	40	1.7K	2.0%	29/50	1.6K	33K	1.0%
CP+Learning( <i>root</i> )+SG	50/50	10.6	<b>81</b>	2.0%	50/50	83	<b>340</b>	2.0%	<b>49/50</b>	<b>1.1K</b>	<b>2.1K</b>	1.0%

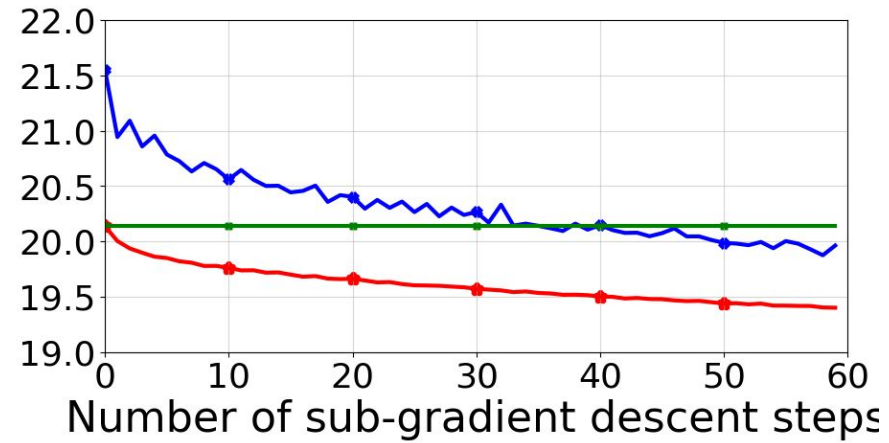
## Shift Scheduling Problem (SSP)

Approaches	10 symbols and 20 states				20 symbols and 20 states				10 symbols and 80 states			
	No. solved	Time	No. nodes	Gap	No. solved	Time	No. nodes	Gap	No. solved	Time	No. nodes	Gap
CP+SG	<b>28/50</b>	473	2.0K	9.3%	<b>27/50</b>	750	<b>2.9K</b>	9.8%	13/50	3.3K	<b>2.5K</b>	15.8%
CP+Learning( <i>all</i> )	24/50	852	8.8K	10.1%	24/50	<b>660</b>	4.7K	10.3%	<b>20/50</b>	<b>1.3K</b>	3.3K	15.8%
CP+Learning( <i>all</i> )+SG	24/50	880	6.3K	8.2%	22/50	770	4.5K	8.4%	17/50	1.6K	3.1K	15.1%
CP+Learning( <i>root</i> )+SG	<b>28/50</b>	<b>453</b>	<b>1.8K</b>	8.2%	22/50	1,100	4.5K	8.4%	13/50	3.4K	<b>2.5K</b>	15.1%

# Résultats



MKP 100 items



SSP 10 vars. 80 states

Évolution de la borne pour les deux configurations les plus compliquées (écart avec la solution optimale)

# À retenir

- **Décomposition Lagrangienne** → Bornage automatique (CP)
- **Limitation** → Coût élevé (optimisation sous-gradient)
- **Nouvelle approche** → Apprendre multiplicateur Lagrange → borne duale serrée
- **Apprentissage auto-supervisé** → Modèle GNN → pas de label de borne
- **1ère méthode générique** → Apprentissage de borne duale valide (CP)



papier AAAI 2025

# Graph encoding

each node = lagrangian multiplier

**MKP** : one node per pair (variable, constraint)

n items, d dimension = nxd nodes

edges if share variable or constraint

6 features:

- $h_v^1$ : the index of the related variable.
- $h_v^2$ : the index of the related constraint.
- $h_v^3$ : the profit of the item.
- $h_v^4$ : the weight of the item on the related dimension.
- $h_v^5$ : the ratio of profit to weight.
- $h_v^6$ : the ratio of weight to capacity.

**SSP** : one node per triplet (variable, constraint, value)

n variables, m constraints, d values = nxmxd nodes

edge if same (variable, value) pair or same constraint (s.t. valid transition)

4 features:

- $h_v^1$ : the index of the related variable.
- $h_v^2$ : the index of the related constraint.
- $h_v^3$ : the index of the related value.
- $h_v^4$ : the profit associated with the triplet.

# References

---

- [1] Monique Guignard and Siwhan Kim.  
Lagrangean decomposition for integer programming : theory and applications.  
*RAIRO. Recherche opérationnelle, tome 21*, 1987.
- [2] Minh Hoàng Hà, Claude-Guy Quimper, and Louis-Martin Rousseau.  
General bounding mechanism for constraint programs.  
In *Principles and Practice of Constraint Programming: 21st International Conference, CP 2015, Cork, Ireland, August 31--September 4, 2015, Proceedings 21*, pages 158--172. Springer, 2015.
- [3] Augustin Parjadis, Quentin Cappart, Bistra Dilkina, Aaron Ferber, and Louis-Martin Rousseau.  
Learning Lagrangian Multipliers for the Travelling Salesman Problem.  
In Paul Shaw, editor, *30th International Conference on Principles and Practice of Constraint Programming (CP 2024)*, volume 307 of *Leibniz International Proceedings in Informatics (LIPIcs)*, pages 22:1--22:18, Dagstuhl, Germany, 2024. Schloss Dagstuhl -- Leibniz-Zentrum für Informatik.

Guignard et al Lagrangean decomposition for interger programming : theory and applications

Parjadis et al, Learning Lagrangian Multipliers for the Travelling Salesman Problem

Hà et al, General bounding mechanism for constraint programs